

ART-Seminar: Vortrag 3

16.09.2020

Formale Einführung folgender Konzepte (vor allem Defs., Bsp. und ein paar Eindeutigkeitsresultate)

- ① Teilchen, Energie, Impuls, Ladung, Dichte, Fluss (-erhaltung)
- ② Energie-Impuls-Tensor, Materiemodelle
- ③ em-Feldstärketensor, E- und B-Feld
- ④ Maxwell-Gln.

Vorher Wiederholung folgender mathematischer Begriffe:

- ⑥ Integration auf Mf., Satz von Stokes, Divergenz allg. Tensorfelder, Killing-VF

0. Wiederholung

Sei M eine orientierte (d.h. alle Koordinatenwechsel im Atlas haben pos. Jacobi det.) (semi-) Riemannsche Mf. der Dimension d .

Ein Volumenelement ist eine d -Form Ω auf M mit

$\Omega(u) \neq 0 \quad \forall u \in M$ und: Für jede Karte α des Atlas' von M

lässt sich Ω im Definitionsbereich U der Karte schreiben als

$$\Omega|_U = f \cdot dx^1 \wedge \dots \wedge dx^d \quad \text{mit } f \in C^\infty(U) \text{ und } \underline{f > 0}.$$

Es existiert ein ausgezeichnetes, eindeutiges sog. metrisches

Volumenelement Ω (wir arbeiten im Folgenden nur noch mit diesem

Volumenelement), s.d. für $\forall M \in M_{\text{pos. orientierte ONB}}(X_1, \dots, X_d)$

von M_n gilt: $\Omega(X_1, \dots, X_d) = + \frac{1}{d!}$. (Eindeutigkeit gilt, da versch.,

konsistent orientierte ONB über orth. Trafo mit $\det = +1$ zusammenhängen,

und $\Omega' = \det(\dots) \cdot \Omega$ für Trafo zw. Basen).

Ist (X_1, \dots, X_d) eine konsistent orientierte, aber nicht notwendigerweise

orthonormale Basis aus VF auf UCM mit dualer Basis $(\omega^1, \dots, \omega^d)$

und Gramscher Determinante $g = |\det(g_{ij})| = |\det(g(X_i, X_j))|$,

so gilt $\boxed{\Omega|_U = \sqrt{g} \omega^1 \dots \omega^d}$ (Ist (Y_1, \dots, Y_d) pos. ori. ONB mit

$X_i = a^i_j Y_j$ und somit $g_{ij} = g(X_i, X_j) = a^l_i a^k_j \underbrace{g(Y_l, Y_k)}_{\substack{= \sum_{l=1}^{d-1} a^l_i a^l_j - a^d_i a^d_j \\ = \delta_{ik}}} = \sum_{l=1}^{d-1} a^l_i a^l_j - a^d_i a^d_j$

also mit $A = (a^i_j)$, $G = (g_{ij})$: $G = A^T \cdot \text{diag}(1, \dots, 1, -1) \cdot A \Rightarrow \det A = \sqrt{g} > 0$

[pos. Lsg., da (X_i) und (Y_i) gleich orientiert], und damit

$$\Omega(X_1, \dots, X_d) = a^1_{i_1} \dots a^d_{i_d} \Omega(Y_{i_1}, \dots, Y_{i_d})$$

Permutieren etc. gibt \det

$$= \frac{1}{d!} \det A = \sqrt{g} \omega^1 \dots \omega^d(X_1, \dots, X_d)$$

Insbesondere ist also für konsistent orientierte, orthogon., $\omega^1, \dots, \omega^d$

$$\Omega = \omega^1 \wedge \dots \wedge \omega^d.$$

Weiterhin sei an die Definition des inneren Produkts erinnert: Für ein

VF X können wir jeder q -Form ω ($q > 0$) eine $(q-1)$ -Form

$$i(X)\omega \text{ durch } (i(X)\omega)(z_1, \dots, z_{q-1}) := q \cdot \omega(X, z_1, \dots, z_{q-1})$$

z.ordnen. Volumenformen im allgemeinen erfüllen folgendes:

$$i(X)\Omega = i(Y)\Omega \Rightarrow X=Y \text{ (denn: Ang. } \Omega(X, z_1, \dots, z_{d-1}) = \Omega(Y, z_1, \dots, z_{d-1})$$

$$\forall z_1, \dots, z_{d-1} \in M_m, \text{ d.h. } \Omega(X-Y, z_1, \dots, z_{d-1}) \equiv 0. \text{ Ang. } X-Y \neq 0, \text{ so}$$

$$\text{ergänze zu pos. ori. aus } \left(\frac{X-Y}{|g(X-Y, X-Y)|^{1/2}}, z_1, \dots, z_{d-1} \right) \dots \downarrow$$

Man kann außerdem in Koordinaten nachrechnen: $\nabla \Omega \equiv 0$, und $\psi_*(i(Y)\Omega) = \psi(Y) \cdot \Omega$
für alle VF Y und 1-Formen ψ .

Integration: für $f \in C(M, \mathbb{R})$, $K \subset M$ offen und rel. kp. definieren

$$\text{wir } \int_K f \cdot \Omega := \int_{x(K)} (x^{-1})^* (f \cdot \Omega) \text{ (falls } K \text{ ganz}$$

durch Karte x überdeckt wird, sonst Zerlegung der 1)

Konkret ist also $\int_{x(K) \subset \mathbb{R}^d} (f \circ x^{-1})(x_1, \dots, x_d) \sqrt{g} dx^1 \dots dx^d$ als Integral im \mathbb{R}^d

zu berechnen (die Definition ist sinnvoll, d.h. kartenunabhängig, denn

falls y eine weitere Karte ist, deren Definitionsbereich K enthält mit

$$g' = \sqrt{|\det(g'_{ij})|}, \quad g'_{ij} = g\left(\frac{\partial}{\partial y^i}, \frac{\partial}{\partial y^j}\right) \text{ und } \frac{\partial}{\partial y^i} = \dot{a}^j_i \frac{\partial}{\partial x^j},$$

so gilt, wie oben nachgerechnet, $g' = |\det(\dot{a}^j_i)| \cdot g$, was genau der Jacobi-Determinante für den Transformationsatz im \mathbb{R}^n entspricht...

Satz von Stokes: Sei $N \subset M$ eine $k_p, (p+1)$ -dim. ori. Mf mit

Rand und ω eine p -Form auf M . Dann gilt:

$$\int_N d\omega = \int_{\partial N} \omega.$$

(wobei ∂N die induzierte Orientierung trägt: Ist $x = (x^1, \dots, x^{p+1})$ Karte für

N mit $x^1(m) = 0$ für $m \in \partial N$ und $x^1 < 0$ in N , so soll

$dx^2 \wedge \dots \wedge dx^{p+1}$ pos. orientiert auf ∂N sein)

Integriertes Kriterium für Geschlossenheit von Formen: Ist $\int_{\partial N} \omega = 0$

für ein ω und alle obigen, so folgt $d\omega = 0$ (denn ang.

$d\omega \neq 0$ für ein $m \in M$, dann wähle N , s.d. $d\omega$ auf N_m nicht

Verschieden, wg. Stetigkeit ist dann auch für N "hin genug"

$$\sum_N d\omega \neq 0, \text{ also nach Stokes } \sum_N \omega \neq 0 \quad (\downarrow)$$

Ein wesentlicher Punkt, der in diesem Vortrag genannt werden soll, ist, dass man hier gar nicht alle N betrachten muss für die Folgerung $d\omega = 0$, sondern es reichen "physikalisch relevante", mehr dazu später. Analoge Aussagen ergeben sich dann später auch für die Bestimmung von Tensorfeldern aus physikalischen Messungen.

Kommen wir nun zum Begriff der Divergenz: Sei zunächst

X ein VF, dann definieren wir die Fkt. $\operatorname{div} X$ durch:

$$\underbrace{d(i(X)\Omega)}_{d\text{-Form}} = \underbrace{\operatorname{div} X}_{\substack{\text{eindeutig bestimmt, da } d\text{-Formen} \\ \text{auf } M \text{ 1-dim.}}} \cdot \underbrace{\Omega}_{\neq 0}$$

Bsp.: $M = \mathbb{R}^3$, $\Omega = dx \wedge dy \wedge dz$, $i(X)\Omega = 3 \cdot dx \wedge dy \wedge dz (X, \cdot, \cdot)$
 $= X^1 \cdot dy \wedge dz + X^2 \cdot dz \wedge dx + X^3 \cdot dx \wedge dy$
 $d(i(X)\Omega) = (\partial_x X^1 + \partial_y X^2 + \partial_z X^3) dx \wedge dy \wedge dz \quad \checkmark$

Bem.: Da sich die Lie-Ableitung, angewandt auf Differentialformen, auch

-5- als $L_X = i(X)d + d i(X)$ schreiben lässt und $d\Omega = 0$,

könnten wir auch $L_X \Omega = \operatorname{div} X \cdot \Omega$ definieren.

Allgemein gilt: $\operatorname{div} X = \frac{1}{\sqrt{g}} \cdot \partial_i (\sqrt{g} X^i)$ in Koordinatenbasis X mit

$$X = X^i \partial_i$$

(denn: $i(X)\Omega = \sqrt{g} \cdot \sum_{i=1}^d X^i dx^1 \wedge \dots \wedge dx^d$, also

$$\begin{aligned} d(i(X)\Omega) &= \partial_i (\sqrt{g} X^i) dx^1 \wedge \dots \wedge dx^d \\ &= \frac{1}{\sqrt{g}} \partial_i (\sqrt{g} X^i) \cdot \Omega \end{aligned}$$

Für den Levi-Civita-Zsh. ∇ auf (M, g) lässt sich dies auch

Schreiben als $\operatorname{div} X = \partial_i X^i + \Gamma_{ij}^i X^j$ (denn:

$$\operatorname{div} X = \frac{1}{\sqrt{g}} \partial_i (\sqrt{g} X^i) = \partial_i X^i + \frac{1}{\sqrt{g}} \partial_i (\sqrt{g}) \cdot X^i = \dots$$

allg. Formel für Ableitung der Determinanten: $(\det M(t))' = \det M \cdot \operatorname{tr}(M^{-1} \cdot M')$

$$\dots = \partial_i X^i + \frac{1}{2} g^{jk} \partial_i g_{jk} \cdot X^i = \partial_i X^i + \Gamma_{ij}^j X^i \quad \checkmark$$

$$= X_i g(X_j, X_k) = g(\nabla_{X_i} X_j, X_k) + g(X_j, \nabla_{X_i} X_k)$$

$$= \Gamma_{ij}^l g_{lk} + \Gamma_{ik}^l g_{lj}$$

-6- Dies motiviert folgende Verallgemeinerung zur Definition der

Divergenz beliebiger (p, q) -Tensorfelder: Ist T ein solches

Tensorfeld mit Darstellung $T = T^{i_1, \dots, i_p}_{j_1, \dots, j_q} X_{i_1} \otimes \dots \otimes X_{i_p} \otimes \omega^{j_1} \otimes \dots \otimes \omega^{j_q}$

in lok. Basis, so ist $\text{div } T$ das $(p-1, q)$ -Tensorfeld

mit $(\text{div } T)^{i_1, \dots, i_{p-1}}_{j_1, \dots, j_q} = T^{i_1, \dots, i_{p-1}, k}_{j_1, \dots, j_q} \omega^k$ d.h.

$$\text{div } T(\theta^1, \dots, \theta^{p-1}, \gamma_1, \dots, \gamma_q) = \nabla_{X_k} T(\theta^1, \dots, \theta^{p-1}, \omega^k, \gamma_1, \dots, \gamma_q).$$

Wegen der Regeln für ∇ sh. $(\nabla(A \otimes B)) = \nabla A \otimes B + A \otimes \nabla B$,

$$\nabla_{X_i} X_j = \Gamma_{ij}^k X_k \text{ und } \nabla \omega^j = 0 = \nabla(\omega^j(X_i)) = \nabla \omega^j(X_i) + \omega^j(\nabla X_i),$$

also $\nabla_{X_i} \omega^j = -\Gamma_{ik}^j \omega^k$ ergibt sich damit

$$\begin{aligned} (\text{div } T)^{i_1, \dots, i_{p-1}}_{j_1, \dots, j_q} &= X_k (T^{i_1, \dots, i_{p-1}, k}_{j_1, \dots, j_q}) + T^{k, i_1, \dots, i_{p-1}, k}_{j_1, \dots, j_q} \Gamma_{kl}^{i_p} \\ &\quad + \dots + T^{i_1, \dots, i_{p-2}, k, l}_{j_1, \dots, j_q} \Gamma_{kl}^{i_{p-1}} \\ &\quad - T^{i_1, \dots, i_{p-1}, l}_{k, j_1, \dots, j_q} \Gamma_{j_1, l}^k - \dots - T^{i_1, \dots, i_{p-1}, l}_{j_1, \dots, j_{q-1}, k} \Gamma_{j_q, l}^k \end{aligned}$$

(*)

Bem.: Eine längere Rechnung zeigt, dass unsere ursprüngliche Def.

der Divergenz über $d(i(X)\Omega) = \text{div } X \Omega$ auf beliebige

antisymmetrische $(p, 0)$ -Tensorfelder verallgemeinerbar ist

und mit dem Ausdruck (*) übereinstimmt.

Neben den gegebenen Formeln für die Divergenz benötigen wir noch Koordinaten-Ausdrücke für die äußere Ableitung, dafür

nutzen wir: $\boxed{dy = \omega^i \wedge \nabla_{X_i} \eta}$, wobei η eine bel. p -Form

ist und (X_i) eine Basis aus VF mit dualer Basis (ω^i)

(denn: - die KHS ist unabh. von der Koordinatenwahl, da sich (X_i) und (ω^i) entgegengesetzt transformieren
- also reicht es, alles punktweise in Normalkoordinaten nachzurechnen, d.h. sei auch bel. $(X_i(m))$ orthonormal und $\Pi_{ij}^h(m) = 0$ $\forall i,j,h$, und $X_i = \partial_i$ Koordinaten-VF [die bekommen wir durch die Exponentialabbildung].

Dann gilt $\eta = \eta_{i_1, \dots, i_p} dx^{i_1} \wedge \dots \wedge dx^{i_p}$, also damit

dann $dy = \partial_j \eta_{i_1, \dots, i_p} dx^j \wedge dx^{i_1} \wedge \dots \wedge dx^{i_p}$ per Def.

der äußeren Ableitung. Andererseits ist $\nabla_{X_j} \eta = \partial_j \eta_{i_1, \dots, i_p} dx^{i_1} \wedge \dots \wedge dx^{i_p}$

und damit $dx^j \wedge \nabla_{X_j} \eta(m) = dy(m)$

Damit erhalten wir folgendes: Für 1-Formen η gilt

$$dy = \omega^j \wedge \nabla_{X_j} (\eta_i \omega^i) = \omega^j \wedge (\eta_{i;j} \omega^i)$$

$$= \frac{1}{2} \cdot (\eta_{ij} \omega^i \otimes \omega^j - \eta_{ji} \omega^i \otimes \omega^j),$$

$$\text{d.h. } (d\eta)_{ij} = \frac{1}{2} (\eta_{j,i} - \eta_{i,j}),$$

und analog (dieser Fall brauchen wir für die Maxwell-Gln.)

$$\text{für 2-Formen } \eta: d\eta = \omega^i \wedge \nabla_{X_j} (\eta_{ik} \omega^i \wedge \omega^k) \quad \text{das sind jetzt die Komponenten bzgl. } \omega^i \wedge \omega^k$$

$$= \eta_{ik,j} \omega^i \wedge \omega^j \wedge \omega^k$$

$$\Rightarrow (d\eta)_{ijk} = \frac{1}{3} (\eta_{ij,k} + \eta_{ki,j} + \eta_{jk,i})$$

nicht kommutativ
bzgl. $\omega^i \otimes \omega^j \otimes \omega^k$

Wir erinnern nun abschließend an das Konzept von Killing-VF,

die eng verwandt mit dem Noether-Theorem sind. Zerst und einmal

die Definition und einige Eigenschaften von Lie-Ableitungen:

Ist $\phi: M \rightarrow N$ ein Diffeomorphismus und T ein (p,q) -Tensorfeld

auf M , so definieren wir den Push-Forward von T durch

$$\phi_* T(\omega^1, \dots, \omega^p, X_1, \dots, X_q)_{(\phi(m))} = T(\phi^* \omega^1, \dots, \phi^* \omega^p, (\phi^{-1})_* X_1, \dots, (\phi^{-1})_* X_q)_{(m)}$$

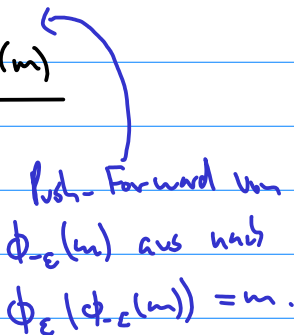
für $\omega^1, \dots, \omega^p \in N_{\phi(m)}^*$, $X_1, \dots, X_q \in N_{\phi(m)}$. Ist X ein C^∞ -VF auf M ,

so liefert der lok. Fluss von X eine Familie von Diffeos $\phi_t: U \rightarrow V$

- 9 - mit $\phi_{t+s} = \phi_t \circ \phi_s$, also $\phi_{-t} = (\phi_t)^{-1}$, $\phi_0 = \text{id}$, von einem Punkt $m \in U$ her.

Wir definieren dann die Lie-Ableitung eines Tensorfeldes T

durch X als:
$$L_X T(m) = \lim_{\varepsilon \rightarrow 0} \frac{T(m) - (\Phi_\varepsilon)_* T(m)}{\varepsilon}$$


 Push-Forward von $\Phi_\varepsilon(m)$ aus nach $\Phi_\varepsilon(\Phi_\varepsilon(m)) = m$.

Für ein $(1,0)$ -Tensorfeld, d.h. ein VF Y , ergibt sich bekanntermaßen

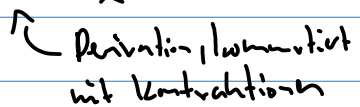
$$L_X Y = [X, Y] = XY - YX \underset{\substack{\uparrow \\ \text{in Koordinatenbasis}}}{=} X^i \partial_i (Y^j \partial_j) - Y^j \partial_j (X^i \partial_i) = \partial_i Y^j \cdot X^i \partial_j - \partial_j X^i \cdot Y^j \partial_i,$$

$$\text{also } (L_X Y)^i = X^j \partial_j Y^i - Y^j \partial_j X^i$$

(dieser Ableitungsbegriff benötigt keine Extra-Struktur wie der z.B. ist aber nicht C^∞ -linear in X und deshalb keine „vernünftige“ Verallgemeinerung der aus dem \mathbb{R}^n bekannten Richtungsableitung)

Mit diesem Ausdruck für die Lie-Ableitung von VF lassen sich dann entsprechende Ausdrücke für andere Tensorfelder herleiten, bspw.

$$\text{für 1-Formen: } L_X(\omega(Y)) = L_X \omega(Y) + \omega(L_X Y),$$


 Derivativ, kommutiert mit Kontraktionen

und mit $\omega = \omega_j dx^j$, $Y = \partial_i$ ergibt sich

$$L_X(\omega(Y)) = L_X(\omega_i) = X^j \partial_j \omega_i = (L_X \omega)_i + \omega(X^j \partial_j \partial_i - \partial_j (X^i \partial_j)) = (L_X \omega)_i - \omega_j \partial_i X^j$$

$$\Rightarrow (L_X c)_i = x^j \partial_j c_i - c_j \partial_i x^j$$

$$\text{Analog: } (L_X T)^{i_1, \dots, i_p}_{j_1, \dots, j_q} = X(T^{i_1, \dots, i_p}_{j_1, \dots, j_q}) - T^{i_1, \dots, i_p}_{j_1, \dots, j_q} \partial_{j_1} x^{i_1} - \dots + T^{i_1, \dots, i_p}_{j_1, \dots, j_q} \partial_{j_1} x^{i_1} + \dots$$

Ein Killing-VF ist nun ein VF X mit $\boxed{L_X g \equiv 0}$. Wir können

eine ganze Reihe von Charakterisierungen von Killing-VF angeben:

1. X Killing gdw. der Fluss von X aus Isometrien besteht, d.h.

$$(\phi_t)_* g = g.$$

2. X Killing gdw. \forall VF W, Z gilt: $Xg(W, Z) = g([X, W], Z) + g(W, [X, Z])$

$$(\text{denn: } L_X(g \otimes W \otimes Z) = \underbrace{L_X g}_{=0} \otimes W \otimes Z + g \otimes L_X W \otimes Z + g \otimes W \otimes L_X Z)$$

Kont.

$$\Rightarrow Xg(W, Z) = g(\underbrace{L_X W}_{=[X, W]}, Z) + g(W, \underbrace{L_X Z}_{=[X, Z]})$$

3. X Killing gdw. \forall VF W, Z gilt: $g(\nabla_W X, Z) + g(W, \nabla_Z X) = 0$

(denn mit Torsionsfreiheit und Metrik-Kompatibilität von ∇ gilt

$$Xg(W, Z) = g(\nabla_X W, Z) + g(W, \nabla_X Z)$$

$$= g(\nabla_W X, Z) + g(W, \nabla_Z X) + g([X, W], Z) + g(W, [X, Z])$$

4. X parallel (d.h. $\nabla_X X \equiv 0 \forall X$) $\stackrel{3.}{\Rightarrow} X$ Killing

5. In Komponentenschreibweise: ∇ Killing $\Leftrightarrow z_{j;l} + z_{l;j} = 0$

(denn: Berechne 3. in Komponenten:

$$g(\nabla_V Z, W) + g(V, \nabla_W Z) = 0 \quad \forall V, W$$

$$\Leftrightarrow g(V^l \nabla_{X_l} (Z^i X_i), W^j X_j) + g(V^l X_l, W^j \nabla_{X_j} (Z^i X_i)) = 0$$

$$\quad \quad \quad = X_l(Z^i) \cdot X_i + Z^i \Gamma_{l,i}^k X_k \quad \quad \quad = X_j(Z^i) \cdot X_i + Z^i \Gamma_{j,i}^k X_k$$

Produktregel

$$\Leftrightarrow V^l \cdot W^j \left\{ \underbrace{g_{ij} X_l(Z^i) + g_{jl} Z^i \Gamma_{l,i}^k}_{= X_l(Z_j) - Z^i X_l(g_{ij})} + \underbrace{g_{il} X_j(Z^i) + g_{lk} Z^i \Gamma_{ij}^k}_{= X_j(Z_l) - Z^i X_j(g_{il})} \right\} = 0$$

$$X_l g(X_i, X_j)$$

$$= g(\nabla_{X_l} X_i, X_j)$$

$$+ g(X_i, \nabla_{X_l} X_j) = \dots$$

$$\Leftrightarrow V^l W^j \cdot \left\{ X_l(Z_j) - Z^i (\Gamma_{il}^k g_{kj} + \Gamma_{je} g_{ki}) + g_{jl} Z^i \Gamma_{il}^k + X_j(Z_l) - Z^i (\Gamma_{ij}^k g_{lk} + \Gamma_{le} g_{ik}) + g_{lk} Z^i \Gamma_{ij}^k \right\} = 0$$

$$\Leftrightarrow V^l W^j \left\{ X_l(Z_j) - \Gamma_{je}^k Z_k + X_j(Z_l) - \Gamma_{je}^k Z_k \right\} = 0$$

$$\Leftrightarrow V^l W^j \left\{ z_{j;l} + z_{l;j} \right\} = 0 \quad \forall V, W$$

Killing-VF liefern Erhaltungsgrößen längs Geodäten: Ist X Killing

und $\gamma: I \rightarrow M$ Geodäte, so gilt $g(\gamma^* X, X) = \text{const.}$

(Rechnung dazu: $\frac{d}{ds} g_{\gamma(s)}(\gamma^* X, X(\gamma(s))) = g\left(\frac{D}{ds} \gamma^* X, X(\gamma(s))\right) + g(\gamma^* X, \nabla_{\gamma^* X} X(\gamma(s)))$

$$\frac{D}{dt} \gamma_x \equiv 0, \quad \gamma_x = g(\gamma_x, \nabla_{\gamma_x} X) \stackrel{3.}{=} -g(\nabla_{\gamma_x} X, \gamma_x) = 0)$$

da Geraden

Killing-VF sind divergenzfrei.

(Rechnung dazu in Komponentenform: $\tau_{i;j} + \tau_{j;i} = 0 \Rightarrow 2g^{ij}\tau_{i;j} = 0$

$$\begin{aligned} \Rightarrow g^{ij}(X_i(\tau_j) - \Gamma_{ij}^k \tau_k) &= g^{ij}(g_{jk} X_i(\tau^k) + \tau^k X_i(g_{jk}) - \Gamma_{ij}^k \tau_k) \\ &= \delta_i^k X_i(\tau^k) + \delta_i^k \Gamma_{ik}^l \tau^k \\ &= X_i(\tau^i) + \Gamma_{ij}^i \tau^j = \operatorname{div} \tau = 0 \end{aligned}$$

$= \Gamma_{ij}^k g_{ik} + \Gamma_{ik}^l g_{jl}$

Wie in der klassischen Mechanik die Poisson-Klammer, so liefert die

Lie-Klammer zweier Killing-VF wieder eine Killing-VF.

(denn: Mit 2. ist z.z.: $[X, Y]g(V, W) = g([X, Y], V)g(W) + g(V, [X, Y])g(W)$
 $\forall V, W$.)

$$\begin{aligned} \text{Dazu: } [X, Y]g(V, W) &= XYg(V, W) - YXg(V, W) \\ &\stackrel{X, Y \text{ Killing}}{=} X(g([Y, V], W) + g(V, [Y, W])) - Y(g([X, V], W) + g(V, [X, W])) \\ &\Rightarrow g([X, [Y, V]], W) + g([Y, V], [X, W]) + g([X, V], [Y, W]) \\ &\quad + g(V, [X, [Y, W]]) - g([Y, [X, V]], W) - g([X, V], [Y, W]) \\ &\quad - g([Y, V], [X, W]) - g(V, [Y, [X, W]]) \end{aligned}$$

Jacobi-Identität

$$[X, Y], V + [V, X], Y + [Y, V], X = 0$$

$$\begin{aligned} &= g([X, [Y, V]] - [Y, [X, V]], W) + g(V, [X, [Y, W]] - [Y, [X, W]]) \\ &= g([X, Y], V, W) + g(V, [X, Y], W) \end{aligned}$$

Beispiele: Am einfachsten findet man Killing-Koordinaten-VF:

∂_i ist Killing gdw. $\partial_i g_{jk} = 0 \quad \forall j,k$, wenn also

die Koeffizienten des Metrik-Tensors nicht von der i -ten

Koordinate abhängen (denn mit 2. gilt ∂_i Killing gdw.

$$[\partial_i, \partial_j] = \partial_i \partial_j - \partial_j \partial_i$$

$$\partial_i g(V, W) = g([\partial_i, V], W) + g(V, [\partial_i, W]) \quad \forall V, W$$

$$\Leftrightarrow \partial_i (g_{jk} V^j W^k) = \partial_i V^j W^k g_{jk} + \partial_i W^k V^j g_{jk} \quad \forall V, W$$

$$= \underbrace{\partial_i g_{jk}}_{=0} V^j W^k, \text{ also } \partial_i \text{ Killing} \Leftrightarrow \partial_i g_{jk} V^j W^k = 0 \quad \forall V, W$$

$$\Leftrightarrow \partial_i g_{jk} = 0$$

Damit sind bspw. VF, die auf Rotationsflächen im \mathbb{R}^3

um die Achse fließen, Killing. Im Minkowski-Raum

$$M = \mathbb{R}^4, \quad g = \sum_{i=1}^3 du^i \otimes du^i - du^4 \otimes du^4 \quad \text{sind alle } \partial_1, \dots, \partial_4$$

Killing, im Einstein-de Sitter-Modell $M = \mathbb{R}^3 \times (0, \infty)$,

$$g = \left(u^4 \right)^{4/3} \sum_{i=1}^3 du^i \otimes du^i - du^4 \otimes du^4 \quad \text{sind } \partial_1, \dots, \partial_3 \text{ Killing,}$$

und in der Schwarzschild-Raumzeit ist ∂_t Killing.

Es kann jedoch noch mehr Killing-VF geben als hier

genannt, z.B. die zu Drehungen gehörigen VF im

Minkowski-Raum, die man durch Einführen von Polar-Koordinaten finden kann.

Abschließend noch ein paar Anmerkungen zur im Folgenden genutzten

Konvention zur Notation physikalisch äquivalenter Tensorfelder:

Sei S ein $(0,2)$ -Tensor auf $M_m, m \in \mathbb{N}, X, Y \in M_m$,

$\chi = g(X, \cdot), \psi = g(Y, \cdot) \in M_m^*$ phys. äquiv. Der zu S phys. äquiv.

$(1,1)$ -Tensor wird mit \tilde{S} bezeichnet und über $\tilde{S}(\chi, \psi) = S(X, Y)$

definiert. Der phys. äquiv. $(2,0)$ -Tensor wird mit \hat{S} bezeichnet und

über $\hat{S}(\chi, \psi) = S(X, Y)$ definiert. Ist $Z \in M_m$, so betrachten wir

mit $\tilde{S}Z \in M_m$ denjenigen Vektor mit $\chi(\tilde{S}Z) = \tilde{S}(\chi, Z) \forall \chi \in M_m^*$.

In Indexnotation lassen wir „ \sim “ und „ \wedge “ wie üblich weg, d.h. ist

(X_i) Basis von M_m mit dualer Basis (ω^i) , so gilt

$$S = S_{ij} \omega^i \otimes \omega^j, \quad \tilde{S} = \underbrace{S^i_j}_{= g^{ik} S_{kj}} X_i \otimes \omega^j, \quad \hat{S} = \underbrace{S^{ij}}_{= g^{ik} g^{jl} S_{kl}} X_i \otimes X_j,$$

$$\tilde{S}Z = S^i_j Z^j \cdot X_i \quad \text{für} \quad Z = Z^j X_j.$$

-15- Die Spur definieren wir als $\text{tr } S = \text{tr } \tilde{S} = \text{tr } \hat{S} = \tilde{S}(\omega^i, X_i) = S^i_i$.

1. Teilchen, Energie, Impuls, Ladung, Dichte, Fluss (-erhaltung)

Def.: Sei $m \in [0, \infty)$ und $e \in \mathbb{R}$. Ein Teilchen der Masse m und Ladung e ist ein Tupel (γ, m, e) , s.d. $\gamma: E \rightarrow M$ eine zukunftsgerichtete Kurve mit $g(\gamma_*(u), \gamma_*(u)) = -m^2 \leq 0 \forall u \in E$ ist.

Bem.: • Als Beobachter hatten wir eine zukunftsgerichtete Kurve mit $g(\gamma_*, \gamma_*) = -1$ definiert, also lässt sich jedes Teilchen mit $m > 0$ zu einem Beobachter (positiv-affin) reparametrisieren.

- Bogenlänge von $\gamma \hat{=}$ Eigenzeit
- γ frei fallend $\Leftrightarrow \gamma$ Geodäte
- γ_* nennen wir in diesem Zsh. Energie-Impuls-Vektor

Def.: Sei (z, \bar{z}) ein instanter Beobachter (d.h. $z \in M, \bar{z} \in M_z, \bar{z}$ zukunftsgerichtet, $g(\bar{z}, \bar{z}) = -1$) und (γ, m, e) ein Teilchen mit $\gamma(u_0) = z$ für ein $u_0 \in E$.

Zerlege $M_z = \underbrace{\text{span } \bar{z}}_{\text{"lokale Zeitachse"}} \oplus \underbrace{\bar{z}^\perp}_{\text{"lokaler Raum"}} \quad \left(\text{das geht, weil } \bar{z} \text{ zeitartig, vgl. Aufgabe 0.0.11) } \right)$

Damit ex. $E \in \mathbb{R}, p \in \bar{z}^\perp$ mit $\gamma_*(u_0) = E \cdot \bar{z} + p$. E ist die

von (z, \bar{z}) für γ gemessene Energie, p der Impuls. Es gilt

offenbar $E = -g(\gamma_*(u), t) > 0$ (nach Aufgabe 1.1.9, insb. auch für $m=0$).

Definiere ferner $v = \frac{1}{E} \cdot p$ als Newton'sche Geschwindigkeit.

Prop.: a) $|v| := |g(v, v)|^{1/2} \in [0, 1]$

b) $m > 0 \Rightarrow E = \frac{m}{(1-|v|^2)^{1/2}}, p = \frac{mv}{(1-|v|^2)^{1/2}}$

c) $|v| < 1 \Rightarrow m > 0, E = m + \frac{m}{2}v^2 + O(|v|^4), p = mv + O(|v|^3)$

d) $E^2 = m^2 + |p|^2$

Bew.: d) $g(\gamma_*(u), \gamma_*(u)) = -m^2 = -E^2 + \underbrace{g(p, p)}_{=|p|^2} \geq 0$ (denn t^\perp ist raumartig nach Cor. 1.1.4)

a) $|v|^2 = \frac{|p|^2}{E^2} = 1 - \frac{m^2}{E^2} \begin{cases} \geq 0, \text{ da } m^2 \leq E^2 \\ \leq 1, \text{ da } m^2, E^2 \geq 0 \end{cases}$

b) $E^2 = m^2 + E^2|v|^2$, also $E = \frac{m}{(1-|v|^2)^{1/2}}$

c) $|v| < 1 \stackrel{\text{s. a)}}{\Rightarrow} m > 0$, Rest mit Taylor aus b)

Bem.: • Man sieht sofort: $m > 0 \Leftrightarrow \gamma$ zeitartig $\Leftrightarrow \forall$ inst. Beob. ist $|v| < 1$
 $\Leftrightarrow \exists$ inst. Beob. mit $|v| < 1$

• Messungen bestimmen $\gamma_*(u)$ wie folgt eindeutig: Sind $X, Y \in M_m$,

so gilt: $g(X, t) = g(Y, t) \forall$ inst. Beob. $(u, t) \Rightarrow X = Y$

(denn: $g(X, t) = g(Y, t) \forall \text{ inst. Beob. } (m, t)$ ist mit Nullsetzen
 äquivalent zu $g(X - Y, t) = 0 \forall \text{ zeitartigen } t \in M_m$.
 Wegen Stetigkeit ist dann auch mit $g(X - Y, t) = 0 \forall$

lichtartigen t . Sei nun t_0 zeitartig und t raumartig,
 dann ist, da die Menge der zeitartigen Vektoren offen
 ist, für α klein genug $t_0 + \alpha t$ zeitartig, d.h.

$g(X - Y, t_0 + \alpha t) = 0$. Ableiten nach α liefert $g(X - Y, t) = 0$,
 und damit, da g nicht entartet, $X = Y$.)

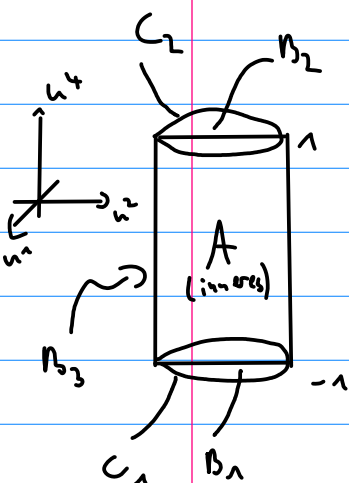
• Vollkommen analog kann man bspw. zeigen: Falls $g(X, X) = g'(X, X)$
 \forall Vektoren $X \in M_m$, so folgt $g = g'$.

Def.: Sei $m \in [0, \infty)$, $e \in \mathbb{R}$. Ein Teilchenfluss ist ein Tupel
 (P, η, m, e) mit einer C^∞ -Fkt. $\eta: M \rightarrow [0, \infty)$ („Werkstoffdichte“)
 und einem Vektorfeld P , s.d. jede Integralkurve von P
 ein Teilchen der Masse m und Ladung e ist. P heißt
 Energie-Impuls-VF.

Um den Begriff der Teilchenzahlerhaltung, der als nächstes eingeführt

wird, mit integralen Begriffen zu illustrieren, benötigen wir etwas Vorarbeit:

Def.: Sei $N_0 = \{ (u^1, \dots, u^4) \in \mathbb{R}^4 \mid \sum_{i=1}^3 (u^i)^2 \leq 1, |u^4| \leq 1 \}$ der



Vollzylinder im Minkowski-Raum (4-dim. Umf. mit Rand).

Zerlege den Rand ∂N_0 in 5 disjunkte Mengen wie

in der Skizze. Eine kausale Box ist eine C^∞ -Einkerbung

$\phi: N_0 \rightarrow M$, die Orientierung, Zeitorientierung und kausalen

Charakter erhält. $D = \phi(B_2 \cup C_2)$ nennen wir Raumschnitt.

Bem.: Folgende Tabelle fasst die Skizze zusammen:

Mf.	Homöo. zu	Orientierung	kausaler Char.	Abschluss
A	\mathbb{R}^4	von M	zeitartig	N_0
B_1, B_2	\mathbb{R}^3	von A	raumartig	$B_i \cup C_i$
B_3	$S^2 \times \mathbb{R}$	von A	zeitartig	$B_3 \cup C_1 \cup C_2$
C_1, C_2	S^1	von B_1, B_2	raumartig	C_i

(zur Erinnerung: Raumartig \Leftrightarrow g pos. def., Lichtartig \Leftrightarrow g pos. semidef., nicht pos. def., zeitartig sonst.)

Prop.: Sei ω eine 3-Form auf M und ψ eine 2-Form. Dann gilt:

a) $d\omega = 0 \Leftrightarrow \int_{\partial N} \omega = 0$ für alle kausalen Boxen $N = \phi(h_i)ch_i$.

$$b) d\psi = 0 \Leftrightarrow \sum_{\partial D} \psi = 0 \quad \forall \text{ Namensschnitte } D.$$

Bew.: Die Beweisidee ist analog zu den bereits bewiesenen Eindeutigkeits-
ergebnissen für die Bestimmung von Vektoren und Tensoren aus Messungen.

Deshalb wird das Vorgehen nur für 0-Formen, d.h. C^∞ -Fktn.

$f: M \rightarrow \mathbb{R}$, gezeigt: zunächst gilt:

$$df \equiv 0 \Leftrightarrow df(W) = 0 \quad \forall W \Leftrightarrow f = \text{const.} \quad (M \text{ zsh.})$$

$$\Leftrightarrow f(\gamma(b)) = f(\gamma(a)) \quad \forall \text{ Kurve } \gamma \quad (M \text{ wegzsh.})$$

wobei hier im Prinzip der Satz von Stokes via

$$\int_a^b df(\gamma_*(u)) du = f(\gamma(b)) - f(\gamma(a)) \quad \text{verwendet wird.}$$

Wir wollen jetzt zeigen, dass es genügt, nur zeitartige Kurven

zu betrachten. Mit Stokes gilt: $f(\gamma(b)) = f(\gamma(a)) \quad \forall \text{ zeitartigen Kurve } \gamma$
 $\Leftrightarrow df(W) = 0 \quad \forall \text{ zeitartigen } W.$

Für X bel. ist aber wieder $W + aX$ für a klein genug zeitartig,

$$\text{also } 0 = df(W + aX) = a \cdot df(X) \Rightarrow df(X) = 0 \Rightarrow df \equiv 0.$$

Def.: Sei (P, η, m, e) ein Teilchenfluss. Ist D ein Namensschnitt, so

definiere $N = \int_P i(\eta \cdot P) \Omega$ als Teilchenzahl in D . Wir sagen,

dass Teilchenzahlerhaltung gilt, wenn $\sum_{\partial N} i(\eta P) \Omega = 0$

für alle kompakten Boxen $N = \phi(N_0)$ (d.h. mit der Prop.

gdw. $d(i(\eta P)\Omega) = 0 = \text{div}(\eta P) \cdot \Omega \Leftrightarrow \text{div}(\eta P) = 0$!)

Bsp.: ① $M = \mathbb{R}^4$, $g = \sum_{i=1}^3 dx^i \otimes dx^i - dx^4 \otimes dx^4$, $P = m \cdot \partial_4$ für $m \in (0, \infty)$,

Teilchenzahlerhaltung, falls $\text{div}(\eta \partial_4) = \partial_4 \eta = 0$

Prop.: Sei (M, g) geg. Raumzeit, P Energie-Impuls-VF, $\phi: N \rightarrow M$

raumartige Einbettung einer 3-Mf. N , und $\eta_0: N \rightarrow [0, \infty) \subset \mathbb{R}$.

Dann ex. höchstens ein $\eta: M \rightarrow [0, \infty)$ s.d. $\text{div}(\eta P) = 0$

und $\eta \circ \phi = \eta_0$, sofern jede max. Integralkurve von P

$\phi(N)$ genau einmal schneidet (Bem.: Die ganze Situation

ist ins.fern künstlich, als dass eigentlich g gemäß der

Feldglg. durch (P, η) bestimmt werden muss und nicht

a priori gegeben ist)

Bew.: Sei $m \in M$, dann ex. genau eine Integralkurve γ von P durch m ,

die $\phi(N)$ o.B.d.A. bei $u^0 = 0$ schneidet: $\gamma(u^0) \in \phi(N)$, $\gamma(u^1) = m$.

Da Integralkurven entweder geschlossen sind oder niemals zum
 gleichen Punkt zurückkehren (Skizze dazu machen!) und
 per Voraussetzung jede Integralkurve $\phi(N)$ nur einmal schneidet,
 kann es kein $u^2 \neq u^1$ geben mit $f(u^2) = u^1$. Definiere

$$f = \gamma \circ \gamma: \mathcal{E} \rightarrow \mathbb{R} \quad (\text{Existenz wird angenommen}), \quad i_j = \text{div } P \circ \gamma: \mathcal{E} \rightarrow \mathbb{R}$$

$$\begin{aligned} \text{und berechne } \text{div}(\gamma P) \Omega &= d(i(\gamma P) \Omega) = d(\gamma \cdot i(P) \Omega) \\ &= d\gamma \wedge i(P) \Omega + \gamma \cdot \text{div } P \cdot \Omega \end{aligned}$$

$$\stackrel{\text{Bem. 4.1}}{\text{Aufg.}} = (d\gamma(P) + \gamma \cdot \text{div } P) \Omega, \text{ d.h.}$$

$$\text{div}(\gamma P) \stackrel{!}{=} 0 \Rightarrow f' + f \cdot i_j = 0, \text{ und da } f(0) \text{ vorgeg.}$$

$$\text{ist somit } \gamma(u) = f(u^1) = \gamma_0(\phi^{-1}(\gamma(0))) \cdot \exp\left(-\int_0^u i_j(u) du\right)$$

eindeutig bestimmt.

Bem.: Existenz einer solchen Einbettung ist bspw. für global hyperbolische

Raumzeit (d.h. \exists Teilmenge B , s.d. jede zeitartige Kurve in M

B genau einmal schneidet, „Candy-Fläche“) gesichert, z.B.

$$\phi(N) = \{u^4 = 1\} \subset \mathbb{R}^4 \text{ im Minkowski-Raum.}$$

Bsp.: II $M = \mathbb{R}^3 \times (0, \infty)$, $g = (\mathbb{R}^{n^4})^2 \sum_{i=1}^3 du^i \otimes du^i - du^4 \otimes du^4$,

$n: (0, \infty) \rightarrow (0, \infty) \in C^\infty$, $P = m \cdot \partial_4$, $\eta = \frac{1}{m \cdot n(u^4)}$ für $m \in (0, \infty)$.

Dann gilt η skalar, d.h. $\text{div}(\eta \cdot P) = 0$, gdw. $\exists a \in (0, \infty)$ mit $n(u^4) = a \cdot (\mathbb{R}^{n^4})^{-3}$

(denn: $\text{div}(\eta \cdot P) \stackrel{\text{s.o.}}{=} d\eta(P) + \eta \cdot \text{div} P$)

$$\sqrt{g} = \kappa^3 \rightarrow \eta' + \frac{1}{\kappa} \cdot n \cdot \frac{m}{\kappa^3} 3 \kappa' \cdot \kappa^2 = 0,$$

$$\text{div} P = \frac{1}{\sqrt{g}} \partial_i (\sqrt{g} P^i) \quad \text{also } \frac{n'}{n} = -3 \cdot \frac{\kappa'}{\kappa}, \text{ d.h. in der Tat } n = a \cdot \kappa^{-3}.$$

2. Energie-Impuls-Tensor, Materiemodelle

Def.: Ein Energie-Impuls-Tensor (EIT) ist ein symmetrisches $(2,0)$ -

Tensorfeld \hat{E} auf M , s.d. $\hat{E}(u, u) \geq 0 \quad \forall$ kausalen 1-Formen u .

Bem.: • Inst. Beob. (t, \vec{x}) messen Energiedichte $E(t, \vec{x})$

• Dass ausgerechnet ein $(2,0)$ -Tensorfeld dafür geeignet ist, ist

Beobachtungstatsache

• Wieder gilt: Ist $E(t, \vec{x}) = E'(t, \vec{x})$ für alle inst. Beob., so folgt $E = E'$

Def.: Sei (P, η, m, e) ein Teilchenfluss auf M . Der EIT von (P, η, m, e) ist $\hat{T} = \eta \cdot P \otimes P$ (das ist tatsächlich ein EIT, denn: Symmetrie ist offensichtlich, und $\hat{T}(u, u) = \eta \cdot (u(P))^2 \geq 0$)

Motivation: Sei (τ, τ) inst. Beob., $X_1, X_2, X_3 \in \mathbb{Z}^\perp$ Basis des lok. Nukleons von (τ, τ) , $K := \left\{ \sum_{i=1}^3 \alpha_i X_i \mid \alpha_i \in [0, 1] \right\} \subset \mathbb{Z}^\perp$ der von den X_i aufgespannte Parallelepiped mit gemessenem Volumen $V = |\Omega(X_1, X_2, X_3, \tau)|$ und enthaltenen Teilchenzahl $N = \eta(\tau) |\Omega(X_1, X_2, X_3, P(\tau))|$ (das ist der Punkt, wo die Motivation zur Motivation statt zum Beweis wird; η gibt bei Integration über Teilungen von M Teilchenzahlen, nicht an einem Punkt im Tangentialraum)

Die zugehörige Energiedichte, die (τ, τ) misst, muss also

$$\frac{N \cdot E}{V} = \eta(\tau) \cdot \left| \frac{\Omega(X_1, X_2, X_3, P(\tau))}{\Omega(X_1, X_2, X_3, \tau)} \right| \cdot E$$

$$P(\tau) = E \cdot \tau + p, \quad p \in \mathbb{Z}^\perp \quad \curvearrowright \quad = \eta(\tau) \cdot E^2 = \eta(\tau) \cdot (g(P(\tau), \tau))^2 \quad \text{sein.}$$

Andersseits ist für $\hat{T} = \eta \cdot P \otimes P$, also

$$T(z, z) = \eta(z) \cdot (g(P(z), z))^2 \text{ passt zum obigen}$$

Ergebnis (man beachte auch, dass dieses Ergebnis unabhängig ist von der willkürlichen Wahl der Basis von z^\perp).

Prop.: Sei T der EIT eines Teilchenflusses und X ein kausales VF.

$$\text{Dann gilt } T(X, X) - \frac{1}{2} \cdot (\text{tr } T) \cdot g(X, X) \geq 0.$$

Bew.: $T(X, X) = \eta \cdot (g(X, P))^2$

$$\text{tr } T = \eta \cdot \sum_{i=1}^4 \tilde{T}(\omega_i, X_i)$$

$$= \eta \cdot \sum_{i=1}^4 \omega_i(P) \cdot g(X_i, P) = \eta \cdot g\left(\sum_{i=1}^4 \omega_i(P) \cdot X_i, P\right)$$

$$= \eta \cdot g(P, P)$$

(oder in Indexnotation: $T_{ij} = \eta \cdot P_i \cdot P_j$, $T^i_j = \eta \cdot g^{ik} P_k P_j$)

$$\text{tr } T = T^i_i = \eta \cdot g^{ik} P_i P_k = \eta \cdot g_{ik} P^i P^k = \eta \cdot g(P, P)$$

$$\text{Also } T(X, X) - \frac{1}{2} \text{tr } T \cdot g(X, X) = \underbrace{\eta \cdot (g(P, X))^2}_{\geq 0 \text{ per Def.}} - \underbrace{\frac{1}{2} \cdot g(P, P) \cdot g(X, X)}_{\geq 0 \text{ gemäß CSH für kausale Vektoren, vgl. Aufgabe 1.1. 10 a)}$$

(für kausale Vektoren v, w , d.h. $g(v, v), g(w, w) \leq 0$, gilt die

umgekehrte CSU $|g(v, w)| \geq |v| \cdot |w|$ mit

Gleichheit gdw. $w = \alpha \cdot v$, $\alpha \in \mathbb{R} \setminus \{0\}$ [da der Nullvektor raumartig ist]. Zum Beweis zerlege wieder $M_v^* = \text{span } v + v^\perp$,

also $w = \underbrace{\alpha \cdot v}_{=w_{\parallel}} + w_\perp$ mit $g(v, w_\perp) = 0$, w_\perp raumartig,

$$\begin{aligned} \text{also } |g(v, w)| &= |\alpha \cdot g(v, v)| = |\alpha| \cdot \left((-g(v, v))^{1/2} \right)^2 \\ &= |v| \cdot |w_{\parallel}| \geq |v| \cdot |w|, \end{aligned}$$

$$\text{denn } g(w, w) = \underbrace{g(w_\perp, w_\perp)}_{\geq 0} + \underbrace{g(w_{\parallel}, w_{\parallel})}_{< 0} < 0, \text{ d.h.}$$

$$|g(w_{\parallel}, w_{\parallel})| \geq |g(w_\perp, w_\perp)|, |g(w, w)| \leq |g(w_{\parallel}, w_{\parallel})|,$$

und Gleichheit gilt offenbar, wenn $w_\perp = 0$, d.h. $w = \alpha \cdot v$.

* Nehme an, dass v, w beide zeitartig, sonst ist die zu zeigende Ungleichung trivialerweise erfüllt.

Bem.: Die Eigenschaft aus der obigen Proposition heißt zeitartiges
Konvergenzkriterium des EIT und impliziert, falls (M, \mathcal{M}, F)

(s. später) die Einsteinschen Feldglgn. erfüllt, dass $\text{Ric}(z, z) > 0$

Uzeitartigen $U \hat{=} z$. Daraus folgt, dass kein Beobachter in einem geodätischen rotationsfreien Bezugssystem auf ganz \mathbb{R} definiert sein kann (vgl. Aufgabe 4.3.7), weil benachbarte zeitartige Geodäten zusammenlaufen.

Bsp.: Eine lustige Nachenaufgabe aus dem Buch ist folgende:

Betrachte 4 inst. Beob. an einem Punkt z im Minkowski-Raum

$$\text{mit } z = \partial_4(z), \quad z^\pm = \frac{1}{3}(5\partial_4(z) \pm 4\partial_1(z)), \quad z' = \frac{1}{4}(5\partial_4(z) + 3\partial_1(z)),$$

die jeweils Energiedichten $u=1$, $u^\pm = \left(\frac{5}{3}\right)^2$, $u' = 3$ messen.

Zeige, dass die oben entwickelte Theorie falsch ist, d.h. dass

kein zugehöriges EIT existiert (schreibe $E = E_{ij} du^i \otimes du^j$,

$$z \text{ liefert } E_{44} = 1, \quad z^\pm \text{ gibt } \left(\frac{5}{3}\right)^2 + \left(\frac{4}{3}\right)^2 E_{11} \pm \frac{40}{3} E_{12} \stackrel{!}{=} \left(\frac{5}{3}\right)^2,$$

$$\text{also } E_{11} = E_{12} = 0, \text{ aber dann müsste für } z' \text{ gelten: } u' = \left(\frac{5}{4}\right)^2 \neq 3 \quad \downarrow)$$

Def.: Ein Materiemodell auf M ist eine Menge an Teilchenflüssen

$$\mathcal{M} = \left\{ (P_A, \eta_A, m_A, e_A) \mid A = 1, \dots, N \right\}. \text{ Der zugehörige}$$

$$\text{EIT ist } \hat{T} = \sum_{A=1}^N \gamma_A \cdot p_A \otimes p_A.$$

Bem.: • Es gilt: $T(z, z)(z) = 0$ für einen inst. Beob. (z, z)

da $(g(p_A, z))^2 > 0$ für alle $A=1, \dots, N$.
 $(\Rightarrow) T(z) = 0 (\Rightarrow) \gamma_A(z) = 0 \forall A=1, \dots, N.$

• $T(z) = 0$ interpretieren wir als Vakuum

• Wir betrachten nur Materie, die sich gemäß dieser Def. behandeln lässt, z.B. perfekte Fluide

3. em-Feldstärketensor, E- und B-Feld

Def.: • Eine Strömungsdichte ist ein VF J auf M , und ein inst. Beob. (z, z) misst die Ladungsdichte $-g(z, J)$.

• Die Strömungsdichte eines Teilchenflusses (P, γ, m, e) ist

$J = e \cdot \gamma \cdot P$, also gilt: γ erhalten $\Leftrightarrow \text{div } J = 0$ (falls $e \neq 0$).

• Entsprechend ist die Strömungsdichte eines Materiemodells $J = \sum_{A=1}^N J_A$.

• Ein em-Feld ist eine 2-Form F auf M .

• Ein Tupel (M, \mathcal{M}, F) mit einer Raumzeit (M, g) mit

Levi-Civita-Zsh. ∇ , einem Materiemodell \mathcal{M} auf M und

einem em-Feld F auf M nennen wir relativistisches Modell.

Def.: Sei F ein em-Feld und (τ, τ) i-st. Beob. Das E-Feld, das (τ, τ) misst, ist definiert als $E = \tilde{F}\tau \in \tau^\perp$

(Denn \tilde{F} ist antisymmetrisch, also $F(\tau, \tau) = 0 = \tilde{F}(g(\tau, \cdot), \tau) = g(\tilde{F}\tau, \tau)$.)

In Komponenten gilt $E = \tilde{F}\tau = F^i_j \tau^j \cdot X_i$ für Basis (X_1, \dots, X_4)

Das B-Feld ist definiert als das eindeutige $B \in \tau^\perp$ mit

$$4! \Omega(X, Y, B, \tau) = F(X, Y) \quad \forall X, Y \in \tau^\perp \quad (\text{d.h.})$$

man betrachte den 3dim. τ^\perp mit Skalarprod. g und Volumenelement $4 \cdot \Omega(\cdot, \cdot, \cdot, \tau)$ (Orientierung von M_τ geerbt).

B ist dann physikalisch äquivalent zum Hodge-Dual von

$F|_{\tau^\perp}$. In Komponenten: Sei (X_1, X_2, X_3, τ) orientierte ONB von M_τ ,

$$\text{dann ist also } \sum_{i,j,k=1}^3 \varepsilon_{ijk} X^i Y^j B^k = \sum_{i=1}^3 F_{ij} X^i Y^j \quad \forall X, Y \in \tau^\perp$$

$$\text{d.h. mit } \begin{array}{l} X=(1,0,0), Y=(0,1,0): B^3 = F_{12} \\ X=(0,1,0), Y=(0,0,1): B^1 = F_{23} \\ X=(0,0,1), Y=(1,0,0): B^2 = F_{31} \end{array}$$

Bem.: In der ONB (x_1, x_2, x_3, t) erhalten wir damit die

bekannte Darstellung $(F_{ij}) = \begin{pmatrix} 0 & B^3 & -B^2 & E^1 \\ -B^3 & 0 & B^1 & E^2 \\ B^2 & -B^1 & 0 & E^3 \\ -E^1 & -E^2 & -E^3 & 0 \end{pmatrix}$ (dass die B-Feld-

Komponenten so aussehen müssen, hatten wir gerade festgestellt, und

für das E-Feld gilt in dieser Basis $E^i = F^i_4, i=1,2,3,$

also $F_{i4} = \underbrace{g_{ij} F^j_4}_{= \delta_{ij}, 1 \leq i,j \leq 3} = E^i$

• Das B-Feld hängt damit explizit von der Orientierung der Mf ab!

Bei Änderung der Orientierung ändert B das Vorzeichen („Pseudo-Vektor“)

• Im Minkowski-Raum können wir leicht auch für den em-Tensor

aus der Sicht von $t=t_4$: $F = 2 \cdot \left[\sum_{i=1}^3 E^i dx^i \wedge dx^4 + B^1 dx^2 \wedge dx^3 + B^2 dx^3 \wedge dx^1 + B^3 dx^1 \wedge dx^2 \right]$

schreiben.

Bsp.: Das folgende Beispiel zeigt noch einmal konkret, dass E- und

B-Felder beobachterabhängig sind und F das eigentliche

physikalische Objekt ist: Betrachte im Minkowski-Raum

$$F = 2 \cdot \left[E \, du^1 \wedge du^4 + B \, du^3 \wedge du^1 \right], \text{ d.h. } \mathbb{Z} = \partial_4$$

misst mit obigen Überlegungen $E = E \cdot \partial_1, B = B \cdot \partial_2$.

Der Beobachter $\mathbb{Z}' = \frac{1}{3}(5 \cdot \partial_4 + 4 \partial_1)$ misst aber bspw. im Fall $E=0$

$$E' = \tilde{F} \mathbb{Z}' = \tilde{F}^i_j (\mathbb{Z}')^j \partial_i = \tilde{F}^3_1 (\mathbb{Z}')^1 \partial_3 = \frac{4}{3} \cdot B \partial_3 \neq 0,$$

während in diesem Fall $E=0$.

4. Maxwell Gln.

Wir betrachten hier (M, g, ∇) und M als gegeben und definieren zwei

Bestimmungsgleichungen für F . Tatsächlich liefert F aber auch einen

EIT, der wiederum die Metrik gemäß der Feldglg. beeinflusst,

s. später.

Def.: Das rel. Materiemodell (M, M, F) erfüllt die Maxwell-Gln.

genau dann wenn:

a) F geschlossen ist, d.h. $dF=0$

b) $\hat{\text{div}} F = 4\pi j$

Bsp.: Betrachte wieder den Minkowski-Raum mit

$$F = 2 \cdot \left[\sum_{i=1}^3 E^i dx^i \wedge dx^4 + B^1 dx^2 \wedge dx^3 + B^2 dx^3 \wedge dx^1 + B^3 dx^1 \wedge dx^2 \right],$$

a) $dF = 0$ bedeutet wie in den mathematischen Vorübungen hier

$$\partial_i F_{jk} + \partial_k F_{ij} + \partial_j F_{ki} = 0, \text{ oder wir berechnen direkt:}$$

$$dF = 2 \cdot \left[\sum_{i=1}^3 \partial_j E^i dx^j \wedge dx^i \wedge dx^4 + \partial_j B^1 dx^j \wedge dx^2 \wedge dx^3 \right. \\ \left. + \partial_j B^2 dx^j \wedge dx^3 \wedge dx^1 + \partial_j B^3 dx^j \wedge dx^1 \wedge dx^2 \right] \stackrel{!}{=} 0$$

Koeffizientvgl. liefert bspw. für $dx^1 \wedge dx^2 \wedge dx^4$ die Gg.

$$\partial_1 E^2 - \partial_2 E^1 + \partial_4 B^3 = 0 \text{ und für } dx^1 \wedge dx^2 \wedge dx^3 \text{ die}$$

$$\text{Gg. } \partial_1 B^1 + \partial_2 B^2 + \partial_3 B^3 = 0, \text{ und wir erhalten insgesamt}$$

die bekannten homogenen Maxwell-Glgn. $\nabla \cdot B = 0, \nabla \times E = -\partial_t B$.

b) Berechne zunächst $\hat{F} = F^{ij} \partial_i \otimes \partial_j$ mit

$$(F^{ij}) = (g^{ik} g^{jl} F_{kl}) = \begin{pmatrix} 0 & B^3 & -B^2 & -E^1 \\ -B^3 & 0 & B^1 & -E^2 \\ B^2 & -B^1 & 0 & -E^3 \\ E^1 & E^2 & E^3 & 0 \end{pmatrix}, \text{ und damit dann}$$

$$\text{wegen } \Gamma_{ij}^k = 0 : \operatorname{div} \hat{F} = \partial_l F^{il} \cdot \partial_i \stackrel{!}{=} 4\pi j^i \partial_i, \text{ was offensichtlich}$$

$$\nabla \times B = 4\pi j + \partial_t E \text{ und } \nabla \cdot E = 4\pi \rho = 4\pi j^0 \text{ ergibt.}$$

Bsp.: ① Konstantes Magnetfeld: Sei $B: \mathbb{R}^4 \rightarrow \mathbb{R}$ C^∞ -Fkt. auf dem

Minkowski-Raum. $F = \underbrace{2B \cdot du^3 \wedge du^4}_{B\text{-Feld: } \partial_2\text{-Richtung für } \partial_4}$ löst die Maxwell-Gl. für $J=0$ gdw.

$$\left. \begin{array}{l} \text{a) } dF = 0, \text{ d.h. } \partial_2 B = \partial_4 B = 0 \\ \text{b) } \operatorname{div} \hat{F} = 0, \text{ d.h. } \partial_1 B = \partial_3 B = 0 \end{array} \right\} \text{ insg. } B = \text{const. nötig!}$$

② Wellen im Minkowski-Raum (ebene Welle in ∂_3 -Richtung):

Sei $f: \mathbb{R} \rightarrow \mathbb{R}$ C^∞ , $f \not\equiv 0$, $\phi = u^3 - u^4$, und

$$F = 2 \cdot f \circ \phi \cdot d\phi \wedge du^1 = 2 \cdot f \circ \phi \cdot (du^3 - du^4) \wedge du^1,$$

$$\text{dann gilt: a) } dF = 2 \cdot (f' \circ \phi) \cdot d\phi \wedge d\phi \wedge du^1 = 0 \quad \checkmark$$

$$\text{b) } (F_{ij}) = \begin{pmatrix} 0 & 0 & -f \circ \phi & f \circ \phi \\ 0 & 0 & 0 & 0 \\ f \circ \phi & 0 & 0 & 0 \\ -f \circ \phi & 0 & 0 & 0 \end{pmatrix}, \text{ also}$$

$$(F^{ij}) = \begin{pmatrix} 0 & 0 & -f \circ \phi & -f \circ \phi \\ 0 & 0 & 0 & 0 \\ f \circ \phi & 0 & 0 & 0 \\ f \circ \phi & 0 & 0 & 0 \end{pmatrix} \text{ und damit}$$

$$\operatorname{div} \hat{F} = \partial_i F^{il} \partial_l = \underbrace{\partial_1 (f \circ \phi)}_{=0} (\partial_3 + \partial_4)$$

$$- \underbrace{(\partial_3 + \partial_4) (f \circ \phi)}_{=0} \cdot \partial_1 = 0$$

also erfüllt F bspw. mit $f(x) = A \cdot \sin(\omega x)$ die

Maxwell-Gln. im Vakuum. ∂_4 misst dabei

$$E = f(\omega^3 - \omega^4) \partial_1, B = f(\omega^3 - \omega^4) \partial_2; \text{ die Welle}$$

breitet sich mit $\frac{d\omega^3}{d\omega^4} = 1$, also Lichtgeschwindigkeit, aus.

Beobachterunabhängige Größen sind das Propagationsvf. $\gamma = \partial_3 + \partial_4$

und die Polarisationsachse $\gamma \wedge \partial_1$.

Def.: Wir definieren den EIT eines em-Feldes F durch die

$$1 \text{ Komponenten } E_{ij} = \frac{1}{4\pi} \left(F_{im} F_j^m - \frac{1}{4} g_{ij} F^{mn} F_{mn} \right).$$

Prop.: a) E ist tatsächlich ein EIT, und $\text{tr} E = 0$

b) Falls F die Maxwell-Gln. mit Quellterm J erfüllt, so gilt

$$\text{div } \hat{E} = - \hat{F} J.$$

Bew.: a) Zunächst einmal hängt E nicht von der gewählten Basis ab:

Sind (E_{ij}) wie oben die Komponenten von E bzgl. (X_i)

und ist $Y_j = a^i_j X_i$ eine andere Basis, so gilt

$$E'_{ij} = a^k_i a^l_j E_{kl} = \frac{1}{4\pi} \left(a^k_i a^l_j F_{km} F_l^m - \frac{1}{4} a^k_i a^l_j g_{kl} F^{mn} F_{mn} \right)$$

$$\begin{aligned}
 &= (\bar{a}^{-1})^m_r (\bar{a}^{-1})^n_s F^{rs} a^k_{mn} l_n F_{kl} \rightarrow = \frac{1}{4\pi} \left((\bar{a}^{-1})^r_m F^l_{ir} a^m_s F^l_{js} - \frac{1}{4} \overbrace{g^l_{ij}}^{=g^l_{ji}} (F^l)^{mn} (F^l)_{mn} \right) \\
 &= F^{mn} F_{mn} \checkmark \quad = \frac{1}{4\pi} \left(F^l_{ir} F^l_{j}{}^r - \frac{1}{4} g^l_{ij} F^{mn} F_{mn} \right).
 \end{aligned}$$

E ist offenbar symmetrisch unter $i \leftrightarrow j$; für

den zweiten Term ist das klar, und für den ersten

Term gilt $F_{jm} F_i{}^m = F_{jm} \cdot g^{ml} \cdot F_{il} = F_{il} \cdot F_j{}^l$.

zu zeigen bleibt $\hat{E}(\omega, \omega) \geq 0 \quad \forall$ kanonischen 1-Formen ω .

Wegen Stetigkeit genügt es, dies für zeitartige Formen

nachzurechnen, und o.B.d.A. sei $|\omega| = 1$. Ergänze zu ONB

$\{\omega^1, \omega^2, \omega^3, \omega^4\}$ mit $\omega^4 = \omega$, s.d. $(g_{ij}) = (g^i_j) - \text{diag}(1, 1, 1, -1)$.

und damit $F^{\alpha\beta} = F_{\alpha\beta} = F^\alpha{}_\beta = F_\alpha{}^\beta$ für $1 \leq \alpha, \beta \leq 3$,

$F^{4\alpha} = -F_{4\alpha}$, $F^{\alpha 4} = -F_{\alpha 4}$ und außerdem analog

$F^\alpha{}_4 = F_{\alpha 4}$, $F^4{}_\alpha = -F_{4\alpha} = F_{\alpha 4}$ für $\alpha = 1, 2, 3$.

Damit ergibt sich: $4\pi \hat{E}(\omega, \omega) = F^{4n} F^4{}_n + \frac{1}{4} F^{mn} F_{mn}$
 $(\alpha, \beta \text{ von } 1 \text{ bis } 3, \quad n, m \text{ von } 1 \text{ bis } 4)$

$$\begin{aligned}
 &= \underbrace{F^{4\alpha} F^4{}_\alpha}_{\text{da } F^{44} = F^4{}_4 = 0} + \frac{1}{4} \cdot \left(\underbrace{F^{4\alpha} F_{4\alpha}}_{\text{s. links}} + \underbrace{F^{\alpha n} F_{\alpha n}}_{= F^{n\alpha} F_{n\alpha} = F^{4\alpha} F_{4\alpha} + F^{\alpha\beta} F_{\alpha\beta}} \right)
 \end{aligned}$$

ignoriere
oben-unter-
Konvention...

$$= F^{4\alpha} \cdot F^{4\alpha} + \frac{1}{4} (-2 \cdot F^{4\alpha} F^{4\alpha} + F^{\alpha\beta} \cdot F^{\alpha\beta})$$

$$= \frac{1}{2} \cdot F^{4\alpha} \cdot F^{4\alpha} + \frac{1}{4} \cdot F^{\alpha\beta} F^{\alpha\beta} \geq 0.$$

Als letztes noch die Spur:

$$4\pi \cdot \text{tr} \tilde{E} = g^{il} F_{lm} F_i{}^m - \frac{1}{4} \underbrace{g_{ii}}_{=4} F^{mn} F_{mn}$$

$$= F_{lm} F^{lm} - F^{mn} F_{mn} = 0$$

b) z.z.: $E^{ij}{}_{;j} = -F^i{}_m \mathcal{J}^m$

Bekannt: $dF=0$, d.h. $F_{ij;k} + F_{jk;i} + F_{ki;j} = 0$, und

$\text{div} \hat{F} = 4\pi \mathcal{J}$, d.h. $F^{ij}{}_{;j} = 4\pi \mathcal{J}^i$ (*), also berechnen wir

$$4\pi (\text{div} \hat{E})^i = 4\pi E^{ij}{}_{;j} = (F^i{}_m F^{mn})_{;j} - \frac{1}{4} (g^{ij} F^{mn} F_{mn})_{;j}$$

$g^{ij}{}_{;k} \equiv 0$ per Metrik-kompatibilität,
denn es gilt

$$\nabla_{X_k} g(X_i, X_j) = X_k(g(X_i, X_j))$$

$$= g(\nabla_{X_k} X_i, X_j) + g(X_i, \nabla_{X_k} X_j)$$

$$\stackrel{\uparrow}{=} (\nabla_{X_k} g)(X_i, X_j) + g(\nabla_{X_k} X_i, X_j) + g(X_i, \nabla_{X_k} X_j)$$

Derivaten auf Tensoren

$$\Rightarrow (\nabla_{X_k} g) = 0, \text{ also auch } \nabla_{X_k} \hat{g} = 0$$

$$\stackrel{\text{gilt. } - \text{Zeilen}}{=} F^i{}_{m;j} \cdot F^{jm} + F^i{}_m F^{jm}{}_{;j} - \frac{1}{4} g^{ij} F^{mn}{}_{;j} F_{mn} - \frac{1}{4} g^{ij} F^{mn} F_{mn;j}$$

$$= \underbrace{-4\pi \mathcal{J}_m \cdot F^{im}}_{(*) \text{, } k \rightarrow m} + F^i{}_m F^{jm}{}_{;j} - \frac{1}{2} g^{ij} F^{mn} F_{mn;j}$$

Indices heben/senken...

$$= -4\pi F^i{}_m \mathcal{J}^m + g^{ik} g^{ml} F_{kl;j} g_{mr} F^{jr}$$

$$- \frac{1}{2} \cdot g^{ik} F_{m;jk} F^{mj}$$

$$= -4\pi F^i{}_m \mathcal{J}^m + g^{ik} F_{km;j} F^{jm} + \frac{1}{2} g^{ik} F_{m;jk} F^{jm}$$

b) klar, ist äquivalent zu $dF = 0$

c) $\text{div } \mathcal{J} = \frac{1}{4\pi} \text{div div } \hat{F} = 0$, da $d^2 = 0$; die

integrale Form folgt mit der entsprechenden Prop. über

3-Formen.

Bsp.: Abschließend berechnen wir noch \hat{E} für das Ebene-Wellen-Bsp.

mit $\phi = u^3 - u^4$, $F = 2 \cdot f \circ \phi \, d\phi \wedge du^1$, also

$$(F_{ij}) = \begin{pmatrix} 0 & 0 & -f \circ \phi & f \circ \phi \\ 0 & 0 & 0 & 0 \\ f \circ \phi & 0 & 0 & 0 \\ -f \circ \phi & 0 & 0 & 0 \end{pmatrix}, (F^{ij}) = \begin{pmatrix} 0 & 0 & -f \circ \phi & -f \circ \phi \\ 0 & 0 & 0 & 0 \\ f \circ \phi & 0 & 0 & 0 \\ f \circ \phi & 0 & 0 & 0 \end{pmatrix}$$

$$g^{ij} = \text{diag}(1, 1, 1, -1) \text{ und } (F^i_j) = \begin{pmatrix} 0 & 0 & -f \circ \phi & f \circ \phi \\ 0 & 0 & 0 & 0 \\ f \circ \phi & 0 & 0 & 0 \\ f \circ \phi & 0 & 0 & 0 \end{pmatrix}$$

$$\text{also } (E^{ij}) = \frac{1}{4\pi} \left(F^{im} F^j_m - \frac{1}{4} g^{ij} \underbrace{F^{mn} F_{mn}}_{=0} \right)$$

$$= \frac{1}{4\pi} (F^{im} F^j_m)$$

$$= \frac{1}{4\pi} \begin{pmatrix} 0 & 0 & 0 & 0 \\ 0 & 0 & 0 & 0 \\ 0 & 0 & (f \circ \phi)^2 & (f \circ \phi)^2 \\ 0 & 0 & (f \circ \phi)^2 & (f \circ \phi)^2 \end{pmatrix} = \frac{1}{4\pi} \overbrace{(f \circ \phi)^2}^{\geq 0} \cdot \gamma \otimes \gamma$$

mit $\gamma = \partial_3 + \partial_4$
Lichtartig

entspricht EIT von Photonenstrahl.